## **—** ФОТОНИКА =

УЛК 544.51

# ИЗЛУЧЕНИЕ $N_2$ В' $^3\Sigma_U^- \to B^3\Pi_G$ В СПЕКТРЕ ЛЮМИНЕСЦЕНЦИИ ТВЕРДОГО НЕОНА, ДОПИРОВАННОГО АЗОТОМ

© 2025 г. Р. Е. Болтнев<sup>1, 2, \*</sup>, И. Б. Быхало<sup>2</sup>, И. Н. Крушинская<sup>2, \*\*</sup>, А. А. Пельменёв<sup>2</sup>

<sup>1</sup>Объединенный институт высоких температур РАН, Москва, Россия <sup>2</sup>Филиал федерального исследовательского центра химической физики им. Н.Н. Семёнова РАН, Черноголовка, Россия

> \*E-mail: boltnev@gmail.com \*\*E-mail: irkrush@gmail.com

Поступила в редакцию 30.10.2024 г. После доработки 19.11.2024 г. Принята к публикации 20.11.2024 г.

Впервые в матрице неона при 5 K в результате термостимулированной рекомбинации атомов азота наблюдались и были идентифицированы спектры люминесценции молекулярного азота на переходах между высоколежащими состояниями  $B'^3S_{u^-}$  и  $B^3P_{g}$ .

*Ключевые слова:* оптическая спектроскопия, атомы и молекулы азота, криогенная плазма, матричная изоляция, радикалы

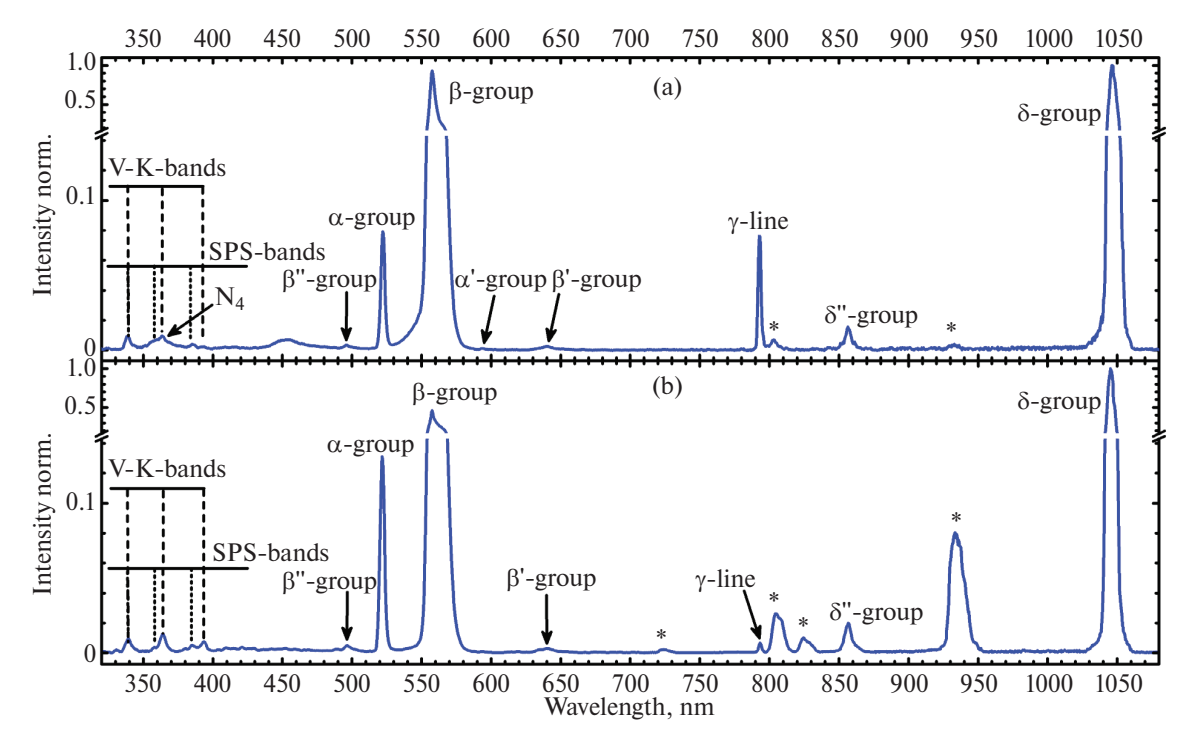
**DOI:** 10.31857/S0023119325020037 **EDN:** ALAHEI

# **ВВЕДЕНИЕ**

В последние годы наметился интерес к практическому применению криогенной плазмы вплоть до температур жидкого гелия [1-5]. Для определения температуры неравновесной плазмы часто используются спектры люминесценции молекулярного азота. Как правило, для этого анализируется вращательная структура спектров следующих переходов  $B^3\Pi$ - $A^3\Sigma$  (first positive system, FPS) и  $C^3\Pi$ - $B^3\Pi$  (second positive system, SPS) в нейтральной молекуле азота, а также  $B^2\Sigma - X^2\Sigma$  (first negative system, FNS) в молекулярном ионе  $N_2^+$  [6]. Газообразный гелий может быть использован для создания криогенной плазмы вплоть до температуры равной 1 К, при которой его равновесное с жидкой фазой давление составляет ≈1 Па. Поэтому для достижения равновесия между поступательными и вращательными степенями свободы в гелиевой плазме для определения температуры буферного газа наиболее предпочтительным является использование переходов FPS, время жизни верхнего состояния в которой составляет 8 мкс против 37 и 62 нс для верхних состояний в SPS и FNS [7] соответственно. Другим достоинством использования молекулярных полос FPS является увеличение их интенсивности при понижении температуры плазмы даже в послесвечении. Как было недавно показано, существенное упрощение структуры вращательных спектров при понижении температуры плазмы до 50 К (за счет опустошения высоких вращательных уровней) позволяет использовать для определения температуры также полосы перехода  $B'^3S_{u^-} \rightarrow B^3P_g$  (infrared afterglow system, IRAS) молекулы азота [8] с временем жизни верхнего состояния в несколько десятков мкс [7].

При конденсации в жидком гелии струи газообразного гелия с небольшим содержанием примеси, прошедшей зону электрического разряда, в объеме жидкости формируются пористые материалы, образованные примесными нанокластерами [2]. Примесь-гелиевые конденсаты (ПГК) позволяют исследовать методами ЭПР и оптической спектроскопии прохождение различных химических реакций, например туннельных [9], исследовать структуру нанокластеров, образованных одним или несколькими типами примесных частиц [10], получать высокоэнергетические системы с высокими концентрациями стабилизированных в примесных нанокластерах радикалов, например атомов азота [11].

К настоящему времени в матрице неона, допированной азотом, при ее возбуждении электронным пучком либо излучением с длиной волны менее 180 нм наблюдались спектры люминесценции только трех систем молекулярного азота: системы Огавы—Танаки—Уилкинсона—Малликена —  $a'^1\Sigma_u^- \to X^1\Sigma_g^+$ , системы Вегарда—Каплана (Vegard—Kaplan, V-K) —  $A^3\Sigma_u^+ \to X^1\Sigma_g^+$  и ранее упомянутой SPS [12]. В данной работе мы приводим 4 новые полосы в ближнем инфракрасном (ИК) диапазоне, которые наблюда-



**Рис. 1.** Спектры, зарегистрированные при разрушении образцов, полученных конденсацией смесей: (a) [N2]/[Ne]/[He] = 1/20/500; (б) [N2]/[Ne]/[He] = 1/100/10000. Полосы, отмеченные звездочками, не наблюдались ранее в матрицах неона.

лись при разрушении образцов, сконденсированных из газовой смеси  $[N_2]/[Ne]/[He] = 1/100/10\,000$ , прошедшей зону электрического разряда непосредственно перед введением в объем сверхтекучего гелия. Выполненный анализ характеристик обнаруженных полос позволил установить, что все они относятся к системе IRAS — переходам между уровнями  $B^3S_u^-$  и  $B^3P_g$ .

#### ЭКСПЕРИМЕНТАЛЬНАЯ ЧАСТЬ

Подробное описание экспериментальной методики для регистрации оптических спектров при разрушении образцов примесь-гелиевых конденсатов приведено в работе [13]. Заранее приготовленная газовая смесь подавалась во внутренний объем оптического криостата через источник атомов, в котором она проходила через зону высокочастотного разряда. Как правило, в смеси присутствует незначительное количество кислорода ( $\sim 10^{-6}$ ), присутствие которого обнаруживается в оптических спектрах. Под источником атомов в 2-3 см находился стеклянный стакан, заполненный сверхтекучим гелием при температуре ≈1.5 К. Температура измерялась при помощи калиброванного термометра, расположенного на дне стакана. Струя (суммарный поток  $\sim 10^{19}$  атомов/с) упиралась в поверхность гелия в стакане, формируя на ней кратер. По мере охлаждения струи примесные частицы агрегировали в нанокластеры размером 5-6 нм. После накопления пористого, аэрогелеподобного образца, образованного примесными нанокластерами, поток газовой смеси перекрывался и разряд выключался. Система сбора света была сфокусирована на образце в стакане. После испарения гелия из стакана образец разогревался и разрушался. Разрушение исследуемых образцов происходило при температурах 5-8 К и сопровождалось свечением и яркими вспышками. Излучение заводилось в световод, из которого попадало в компактный спектрометр Ocean Optics HR2000+ для регистрации в диапазоне от 300 до 1100 нм с разрешением 1 нм. Спектры, зарегистрированные спектрометром, корректировались с учетом спектральной чувствительности прибора и потерь в используемом световоде.

На рис. 1 представлены спектры, зарегистрированные при разрушении образцов, полученных конденсацией смесей  $[N_2]/[Ne]/[He] = 1/20/500$  (рис. 1а) и  $[N_2]/[Ne]/[He] = 1/100/10000$  (рис. 1б). После коррекции спектров на спектральную чувствительность использованной системы регистрации они были пронормированы по интенсивности. Помимо известных из литературы линий и полос, наблюдаемых в спектрах матриц неона, допированных азотом и кислородом, в спектрах присутствуют 4 новые полосы, отмеченные звездочками, на 724, 805, 824 и 933 нм, не упоминавшихся где-либо ранее. Стоит

отметить, что кислород являлся примесью (не более 0.001%) в используемом для приготовления смесей газообразном гелии.

## РЕЗУЛЬТАТЫ И ОБСУЖДЕНИЯ

Необходимо отметить, что при конденсации газовых смесей, содержащих различные виды примесей, кластеры, образующиеся в струе по мере ее охлаждения, имеют оболочечную структуру — вокруг ядра из наиболее тяжелой примеси формируются оболочки из более легких молекул/атомов [10, 11]. В случае азот-неоновой смеси в центре кластера находится азотное ядро, окруженное неоновой оболочкой, на которой также имеется слой адсорбированного гелия. При этом атомы азота, полученные диссоциацией молекул в зоне электрического разряда, с различными концентрациями распределены в ядре и большей частью — в обеих оболочках кластера [10].

При разогреве матриц азота/инертных газов, содержащих стабилизированные атома азота  $N(^4S)$ , подвижность атомов размораживается и в результате их рекомбинации формируются молекулы  $N_2$  в возбужденном метастабильном состоянии  $A^3\Sigma_u^{\ +}$ . Помимо этого, в матрице азота (т.е. в ядре нанокластера) возбуждение с молекул в метастабильном состоянии  $A^3\Sigma_u^{\ +}$  может мигрировать:

$$N_2(A^3\Sigma_u^{\phantom{1}+}) + N_2(X^1\Sigma_g^{\phantom{1}+}) \!\to\! N_2(X^1\Sigma_g^{\phantom{1}+}) + N_2(A^3\Sigma_u^{\phantom{1}+}),$$

а также передаваться на атомы азота и кислорода в основном состоянии [14]:

$$\begin{split} &N_2(A^3\Sigma_u^{\phantom{u}^+}) + N\binom{^4S}{} \rightarrow N\binom{^2D}{} + N_2(X^1\Sigma_g^{\phantom{g}^+}), \\ &N_2(A^3\Sigma_u^{\phantom{u}^+}) + N\binom{^4S}{} \rightarrow N\binom{^2P}{} + N_2(X^1\Sigma_g^{\phantom{g}^+}), \\ &N_2(A^3\Sigma_u^{\phantom{u}^+}) + O\binom{^3P}{} \rightarrow O\binom{^1S}{} + N_2(X^1\Sigma_g^{\phantom{g}^+}). \end{split}$$

Соответственно, при термостимулированной рекомбинации атомов азота в основном состоянии в матрице появляются возбужденные молекулы азота, а также атомы азота и кислорода в возбужденных состояниях, что проявляется в регистрации молекулярных полос системы Вегарда—Каплана (V-K) и SPS, атомарных переходов N  $^2$ D  $\rightarrow$   $^4$ S ( $\alpha$ -group), O  $^1$ S  $\rightarrow$   $^1$ D ( $\beta$ -group) и N  $^2$ P  $\rightarrow$   $^2$ D ( $\delta$ -group). Кроме того, при нахождении излучающих атомов в окружении молекул азота у атомарных переходов наблюдаются стоксовые и антистоксовые сателлиты, например b'-group и  $\beta$ "-group, обусловленные одновременным переходом в излучающем атоме кислорода  $^1$ S  $\rightarrow$   $^1$ D и колебательным переходом (возбуждением  $\nu$  = 0  $\rightarrow$   $\nu$  = 1 или релаксацией  $\nu$  = 1  $\rightarrow$   $\nu$  =

0) в соседней молекуле азота в основном состоянии  $N_2(X^1\Sigma_g^+)$  [15, 16]. В табл. 1 представлен перечень спектральных линий, зарегистрированных в спектрах, вместе с их положениями и идентификацией (обозначены частица-излучатель и соответствующий переход). В зарегистрированных спектрах также присутствуют линии, относящиеся к более экзотическим частицам, образованным атомами азота. Так, у-линия соответствует переходу  ${}^{1}D \rightarrow {}^{3}P$ аниона азота – короткоживущего комплекса, образованного возбужденным метастабильным атомом азота  $N(^2D)$  и электроном, который освобождается из ловушки (дефект структуры кластера) под воздействием нагрева кластера либо облучения светом [13]. Широкая полоса на 360 нм, заметная на рис. 1a, относится к молекуле  $N_4$  – продукту рекомбинации иона  $N_4^+$  с термо- или фотоактивированным электроном [17]. Следует отметить, что ионы  $N_4^+$ были зарегистрированы ранее не только в матрицах азота [18], но и неона, допированного азотом, как методом ЭПР [19], так и по ИК-спектрам поглощения [20].

Анализ положений зарегистрированных переходов, отмеченных звездочками на рис. 1, показал, что они хорошо совпадают с известными для газовой фазы переходами молекулы азота между состояниями  $B'^3S_{11}$ - и  $B^3P_{2}$  [7]. Это позволило определить, что излучающая молекула находилась в неоновой матрице – известно, что значения молекулярных констант для термов  $B^3P_g$  и  $C^3\Pi_u$  в матрице неона и в газовой фазе практически совпадают, так как неон обладает очень низкой поляризуемостью [21]. Было установлено, что излучающими являются 4-й и 5-й колебательные уровни терма  $B'^3S_{11}$  с энергией  $\approx 9$  эВ. Предложенная нами идентификация полос и их положения позволяют оценить величины  $Dv_{5-4}$  и  $Dn_{1-0}$  — разности энергий вовлеченных колебательных уровней для состояний  ${B'}^3 S_{u^-}$  и  ${B^3 P_{g}}$  соответственно, и сравнить их с табличными данными, известными для газовой фазы [22]. Полученные величины 1406 и 1694.5 см $^{-1}$  хорошо согласуются с табличными данными 1398 и 1705.2 см $^{-1}$  для термов  ${\bf B}^3{\bf S}_{\rm u}^-$ и  ${\bf B}^3{\bf P}_{\rm g}$  соответственно с учетом их слабого возмущения матрицей неона.

Кроме того, в пользу нашего предположения свидетельствует тот факт, что полосы, соответствующие переходам между состояниями  $W^3D_u$  и  $A^3S_u^+$ , которые наблюдались ранее в этой же спектральной области в спектрах из матриц аргона и криптона с малыми примесями азота [23], имели ширину  $\approx 25$  см $^{-1}$ , тогда как полосы, зарегистрированные в нашей работе, имеют ширину  $\approx 140$  см $^{-1}$ .

#### ЗАКЛЮЧЕНИЕ

В спектрах, зарегистрированных при разрушении азот-неоновых примесь-гелиевых конденсатов, были обнаружены новые полосы в ближнем ИК-диапазоне, не известные в научной литературе. Выполненный анализ положений и ширин новых полос позволил заключить, что они соответствуют переходам между состояниями  $B^{\prime 3}S_{u^{-}}$  и  $B^{3}P_{g}$  молекулярного азота в матрице неона.

#### ИСТОЧНИКИ ФИНАНСИРОВАНИЯ

Работа выполнена по темам госзаданий ФИЦ химической физики им. Н.Н. Семенова РАН (№ 122040500073-4) и Объединенного института высоких температур РАН (№ 075-00270-24-00).

#### КОНФЛИКТ ИНТЕРЕСОВ

Авторы работы заявляют об отсутствии конфликта интересов.

#### СПИСОК ЛИТЕРАТУРЫ

- Stauss S., Mori S., Muneoka H., Terashima K., Iacopi F. // J. Vac. Sci. Technol., B. 2013. V. 31. P. 061202; https://doi.org/10.1116/1.4825202
- Bernard E.P., Boltnev R.E., Khmelenko V.V., Kiryukhin V., Kiselev S.I., Lee D.M. // J. Low Temp. Phys. 2004. V. 134. P. 133–143; https://doi.org/10.1023/B:JOLT.0000012546.86092.4a
- 3. *Miakonkikh A.V., Kuzmenko V.O., Rudenko, K.V.* // High Energy Chem. 2023. V. 57. Suppl. 1. P. S115—S118;
  - https://doi.org/10.1134/S0018143923070275
- Boltnev R.E., Kononov E.A., Trukhachev F.M., Vasiliev M.M., Petrov O.F. // Plasma Sources Sci. Technol. 2020. V. 29. P. 085004;
  - https://doi.org/10.1088/1361-6595/aba2ab
- Antoun G., Tillocher T., Lefaucheux P., Faguet J., Maekawa K., Dussart R. // Sci. Rep. 2021. V. 11. P. 357; https://doi.org/10.1038/s41598-020-79560-z
- 6. *Ochkin V.N.* Spectroscopy of Low Temperature Plasma. New York: Wiley, 2009.
- Lofthus A., Krupenie P.H. // J. Phys. Chem. Ref. Data. 1977. V. 6. P. 113–307; https://doi.org/10.1063/1.555546
- 8. Boltnev R.E., Atrazhev V.M., Bonifaci N., Bykhalo I.B., Krushinskaya I.N., Khmelenko V.V. et al. // Plasma Sources Sci. Technol. 2021. V. 30. P. 075032; https://doi.org/10.1088/1361-6595/abefa9
- 9. Gordon E.B., Pel'menev A.A., Pugachev O.F., Khmelenko V.V. // JETP Lett. 1983. V. 37. P. 282–285.

- Wetzel C.K., Lee D.M., Khmelenko V.V. // J. Low Temp. Phys. 2024. V. 215. P. 294–311; https://doi.org/10.1007/s10909-023-03026-5
- Meraki A., McColgan P.T., Boltnev R.E., Lee D.M., Khmelenko V.V. // J. Low Temp. Phys. 2018. V. 192. P. 224–240; https://doi.org/10.1007/s10909-018-1952-x
- 12. Savchenko E.V., Khyzhniy I.V., Uyutnov S.A., Barabashov A.P., Gumenchuk G.B., Beyer M.K., Bondybey V.E. // J. Phys. Chem., A. 2014. V. 119. P. 2475—2482;
  - https://doi.org/10.1021/jp5087575
- 13. Boltnev R.E., Bykhalo I.B., Krushinskaya I.N., Pelmenev A.A., Mao S., Meraki A. et al. // Phys. Chem. Chem. Phys. 2016. V. 18. P. 16013—16020; https://doi.org/10.1039/c6cp01080f
- Oehler O., Smith D.A., Dressler K. // J. Chem. Phys. 1977. V. 66. P. 2097; https://doi.org/10.1063/1.434171
- Sayer R.J., Prince R.H., Duley W.W. // Proc. Roy. Soc. London, A. 1979. V. 365. P. 235–251; https://doi.org/10.1098/rspa.1979.0015
- Sayer R.J., Prince R.H., Duley W.W. // Proc. Roy. Soc. London, A. 1981. V. 373. P. 477–490; https://doi.org/10.1098/rspa.1981.0005
- 17. Savchenko E.V., Khyzhniy I.V., Uyutnov S.A., Bludov M.A., Barabashov A.P., Gumenchuk G.B., Bondybey V. // E. J. Low Temp. Phys. 2017. V. 187. P. 62–70; https://doi.org/10.1007/s10909-016-1706-6
- McColgan P.T., Meraki A., Boltnev R.E., Lee D.M., Khmelenko V.V. // J. Phys. Chem. A. 2017. V. 121. P. 9045–9057; https://doi.org/10.1021/acs.jpca.7b09661
- Knight L.B.Jr., Johannessen K.D., Cobranchi D.C., Earl E.A., Feller D., Davidson E.R. // J. Chem. Phys. 1987. V. 87. P. 885–897; https://doi.org/10.1063/1.453243
- Thompson W.E., Jacox M.E. // J. Chem. Phys. 1990.
  V. 93. P. 3856–3861; https://doi.org/10.1063/1.458771
- Tinti D.S., Robinson G.W. // J. Chem. Phys. 1968. V. 49.
  P. 3229–3245; https://doi.org/10.1063/1.1670575
- 22. Western C.M, Carter-Blatchford L., Crozet P., Ross A.J., Morville J., Tokaryk D.W. // J. Quant. Spectrosc. Radiat. Transfer. 2018. V. 219. P. 127–141; https://doi.org/10.1016/j.jqsrt.2018.07.017
- Zumofen G., Sedlacek J., Taubenberger R., Pan S.L., Oehler O., Dressler K. // J. Chem. Phys. 1984. V. 81. P. 2305; https://doi.org/10.1063/1.447920

# IRRADIATION $N_2$ $B'^3S_{U^-} \rightarrow B^3\Pi_G$ IN THE LUMINESCENCE SPECTRUM OF NITROGEN-DOPED SOLID NEON

R. E. Boltnev<sup>a, b, \*</sup>, I. B. Bykhalo<sup>b</sup>, I. N. Krushinskaya<sup>b, \*\*,</sup> A. A. Pelmenjov<sup>b</sup>

<sup>a</sup>Joint Institute for High Temperatures of the RAS, Moscow, Russia <sup>b</sup>Branch of the Federal Research Center of Chemical Physics named after N.N. Semenov of the RAS, Chernogolovka, Russia

\**E-mail:* boltnev@gmail.com \*\**E-mail:* irkrush@gmail.com

For the first time, luminescence spectra of molecular nitrogen on transitions between high-lying states  $B^3S_u^-$  and  $B^3P_g$  were observed and identified in a neon matrix at 5 K as a result of thermally stimulated recombination of nitrogen atoms.

Keywords: optical spectroscopy, nitrogen atoms and molecules, cryogenic plasma, matrix isolation, radicals